



Институт океанологии им. П.П. Ширшова РАН, Москва, Россия
Лаборатория Взаимодействия океана и атмосферы и мониторинга
климатических изменений

Прогностический потенциал стратосферы Северного полушария в зимний период на субсезонном масштабе

Юлия Зюляева, Дарья Собаева

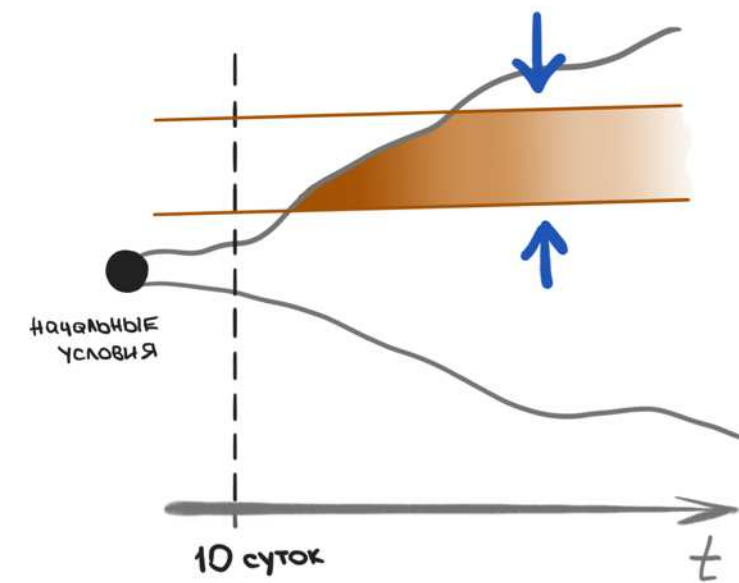
*yulia@sail.msk.ru





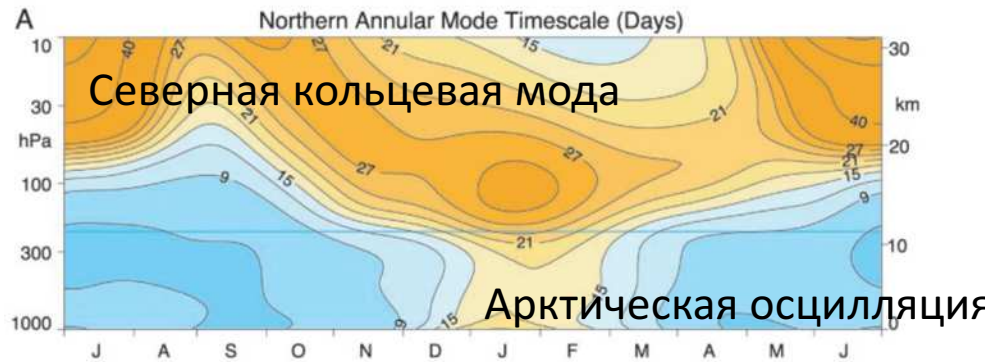
Актуальность

- Детерминистический прогноз погоды – предел 10 дней
- За пределом 10 дней – прогноз статистических свойств атмосферных условий
(Среднее состояние атмосферы за некоторый период времени, вероятность тех или иных событий...)
- Низкочастотные компоненты климатической системы:
 - Аномалии ТПО (тропический пояс)
 - Мощность снежного покрова
 - Протяженность морского льда
 - Осцилляция Маддена — Джулиана
 - Стратосферная динамика
- Не оказывают непосредственное влияние на синоптические процессы, а накладывают ограничения на изменчивость погоды и климата и тем самым увеличивают предсказуемость за пределы 10 дневного периода

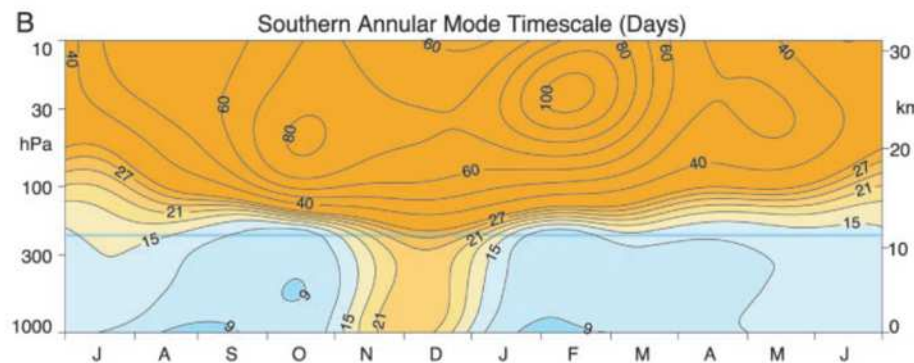




Стратосферно-тропосферное взаимодействие



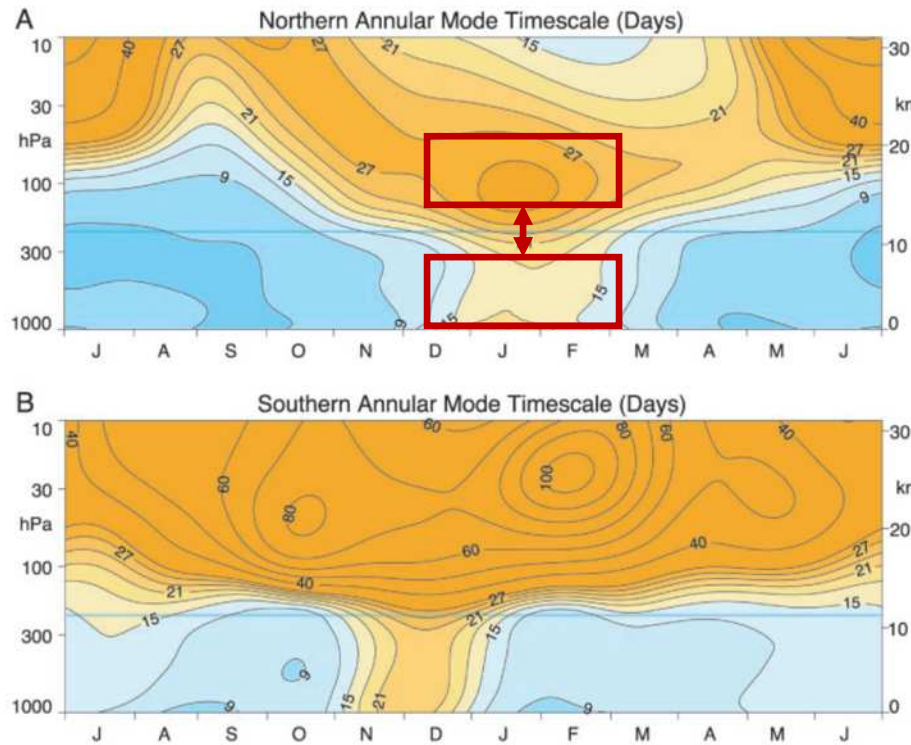
- Временной масштаб жизни (e-folding time) возмущений в стратосфере больше чем в тропосфере на протяжении всего года



Stratospheric Memory and Skill of Extended-Range Weather Forecasts (Baldwin et al., 2003)



Стратосферно-тропосферное взаимодействие



- Временной масштаб жизни (e-folding time) возмущений в стратосфере больше чем в тропосфере на протяжении всего года
- Самое продолжительное время жизни возмущений в нижней тропосфере наблюдается зимой и совпадает с максимумом в нижней стратосфере.

Stratospheric Memory and Skill of Extended-Range Weather Forecasts (Baldwin et al., 2003)



Отклик тропосферной динамики на экстремальные состояния стратосферного полярного вихря

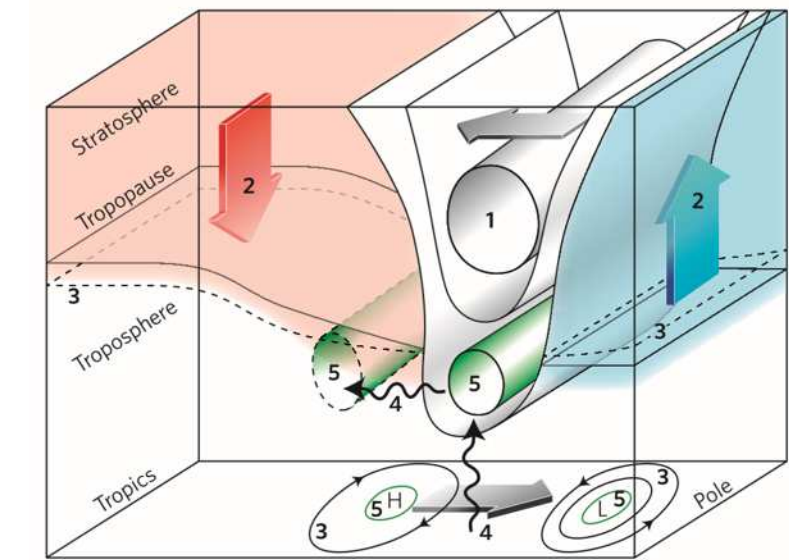
1. Влияние на характер распространения планетарных волн

- Вертикальное распространение
- Диссипация
- Отражение

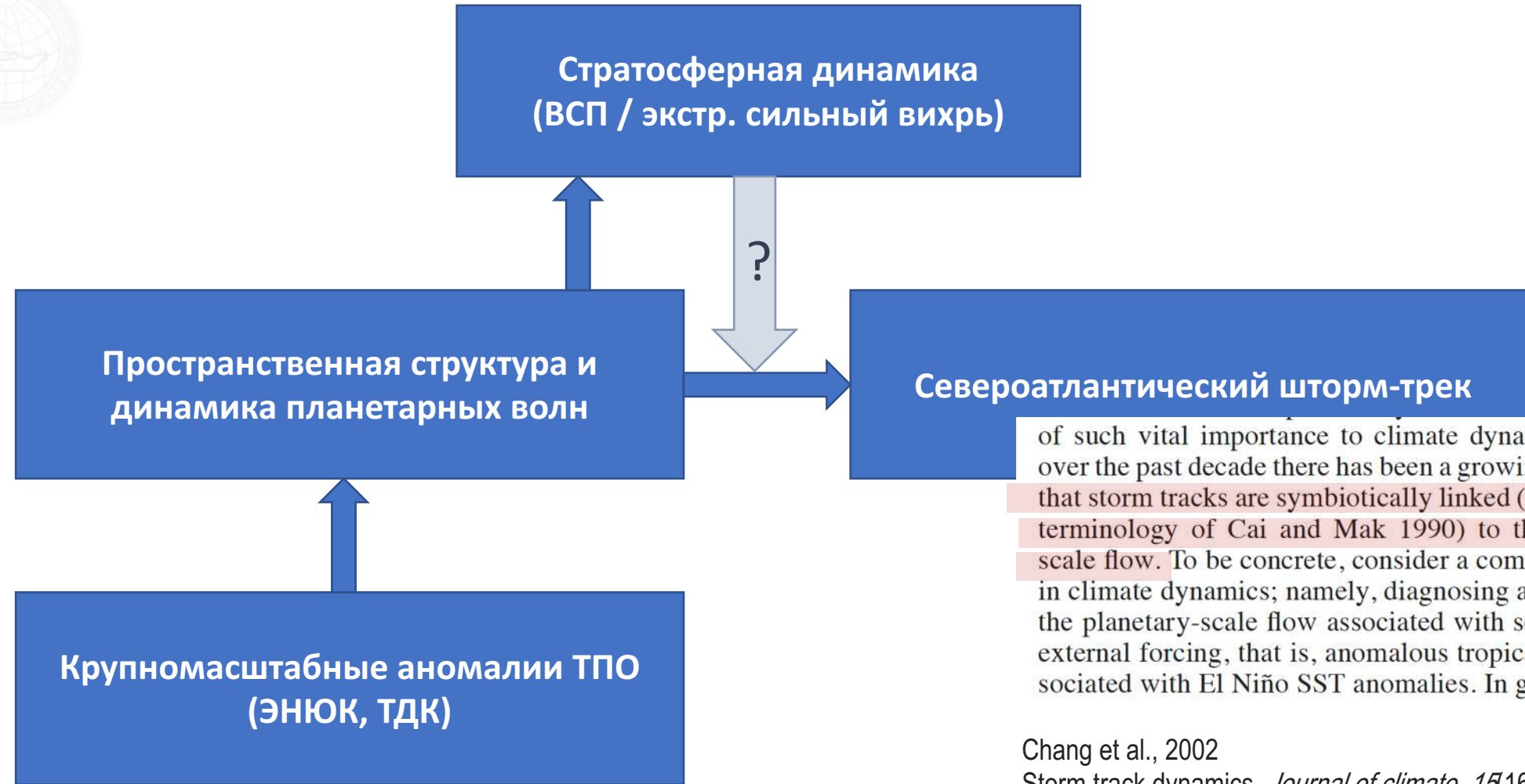
2. Изменение высоты тропопаузы

Зонально осредненное уравнение для импульса
(Transformed Eulerian Mean equation, TEM)

$$\overline{u_t} = \underbrace{\overline{v^*}(f - (a \cos\phi)^{-1}(\bar{u} \cos\phi)_\phi) - \overline{w^*} \overline{u_z}}_{\text{Остаточная меридиональная циркуляция}} + \underbrace{(\rho_0 a \cos\phi)^{-1} \nabla \cdot F + \bar{X}}_{\text{Распространение волн}}$$



Ослабление волновой активности ведет к усилению СПВ, соответственно усиливается остаточная меридиональная циркуляция, что приводит к перемещению массы с полюса на юг, снижение за счет этого давления в полярной области и происходит адиабатическое охлаждение за счет вертикального поднятия над полюсом и компенсационного опускания в низких и умеренных широтах

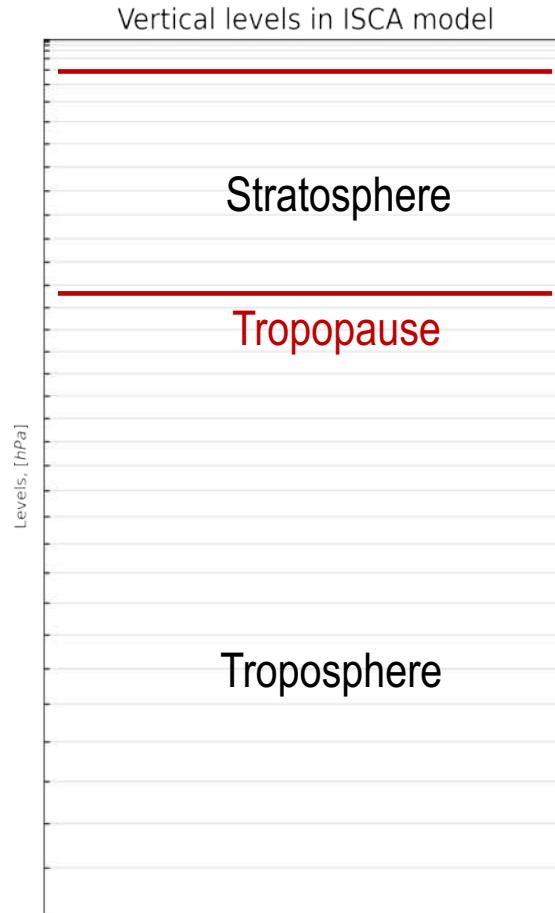


Влияет ли пространственная структура квазистационарных планетарных волн, сформированная крупномасштабными аномалиями ТПО в Тихом океане на отклик Североатлантического шторм-трека на экстремальные состояния стратосферного полярного вихря?

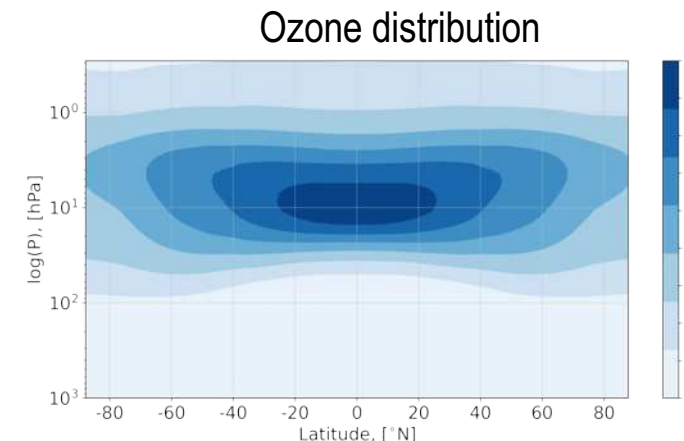
Модельные эксперименты



ISCA – open source framework for idealized modeling of the global circulation of planetary atmospheres.
GFDL dynamical core. [Vallis, 2018]



- Высота верхней границы 0.02hPa (~ 73km).
- Диссипативный верхний слой (sponge layer, 150 Pa)
- Вертикальное разрешение: 40 уровней (18 выше тропопаузы).
- Горизонтальное спектральное разрешение: T42 (lat x lon 64 x 128).
- Фиксированное зонально симметричное распределение озона.

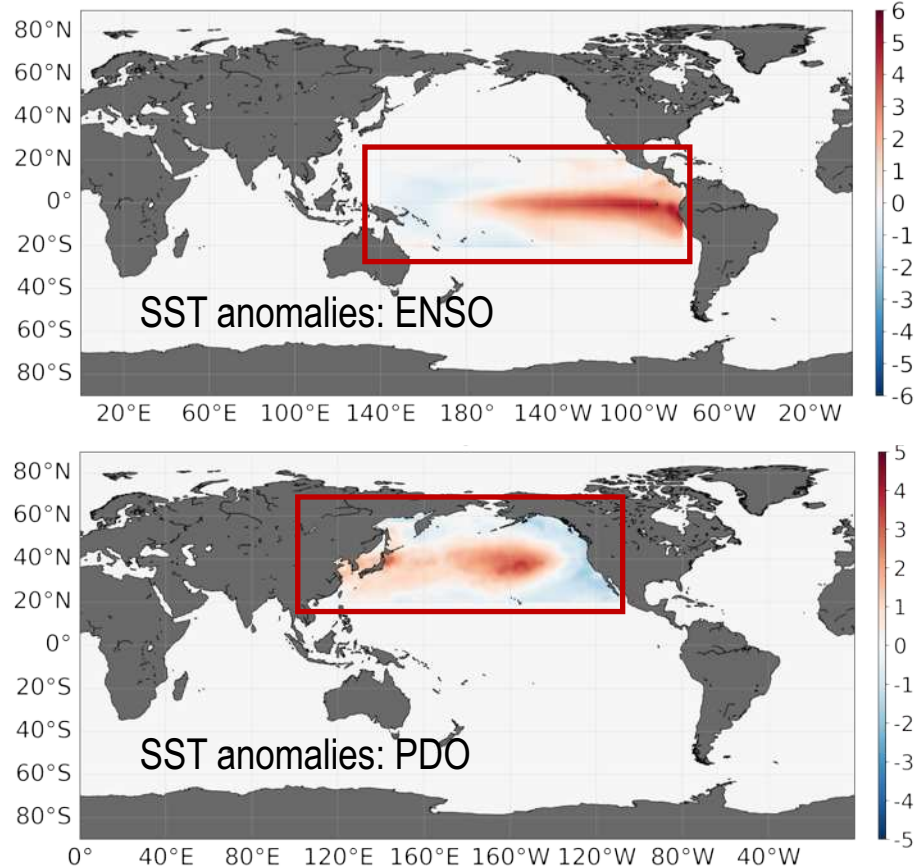


[Sobaeva et al., 2023]



Модельные эксперименты

ТПО граничные условия



$$T = T_{\text{AMIP}} + 2^*T_{\text{anom}}$$

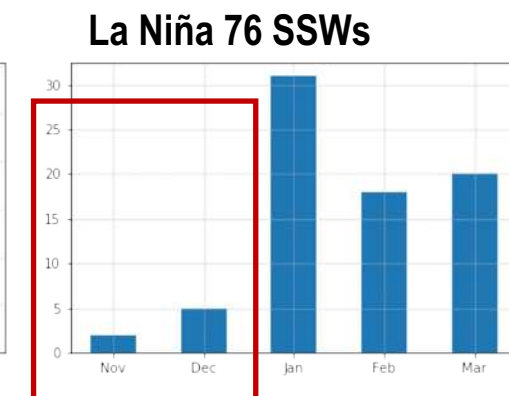
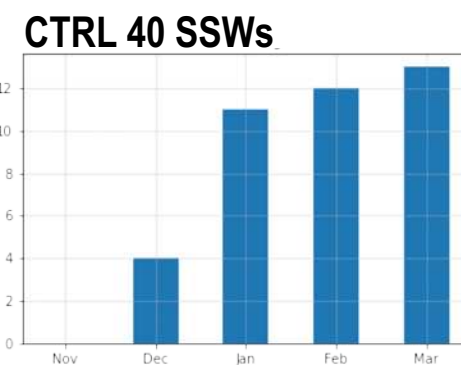
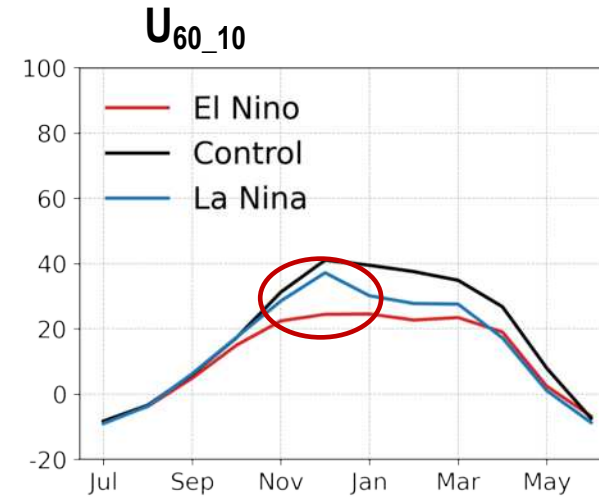
	Boundary Conditions	Pacific Decadal Oscillation		
		Neutral	Positive Phase	Negative Phase
ENSO	Neutral	+ (control)	+	+
	El Niño	+	+	+
	La Niña	+	+	+

Продолжительность эксперимента – 100 лет

Временной шаг интегрирования – 6 часов

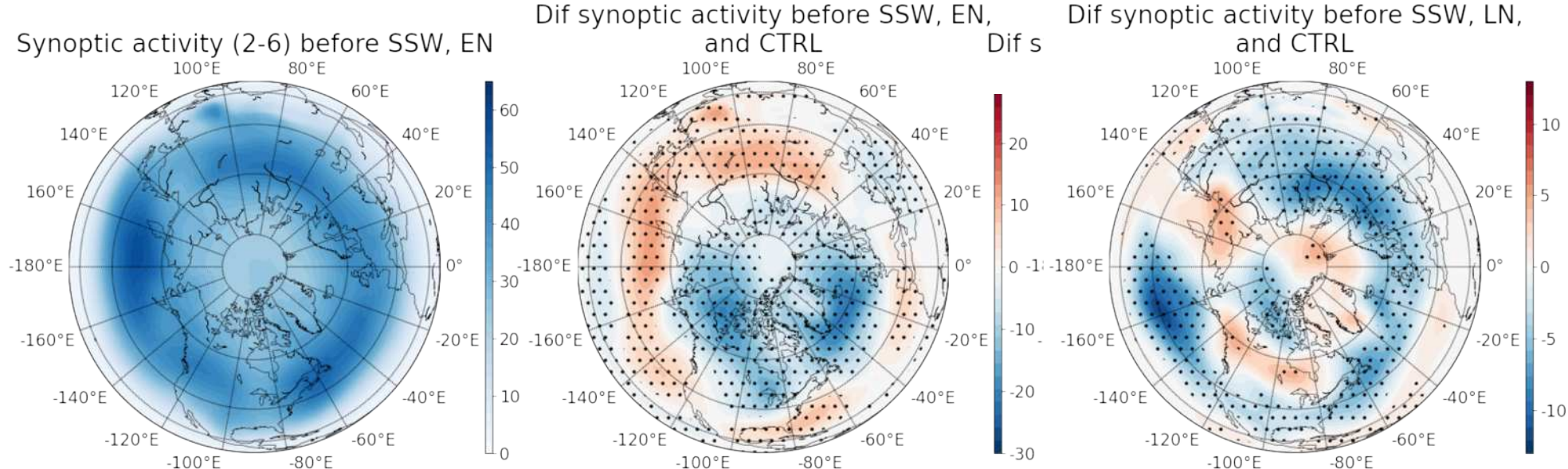


Внезапные стратосферные потепления





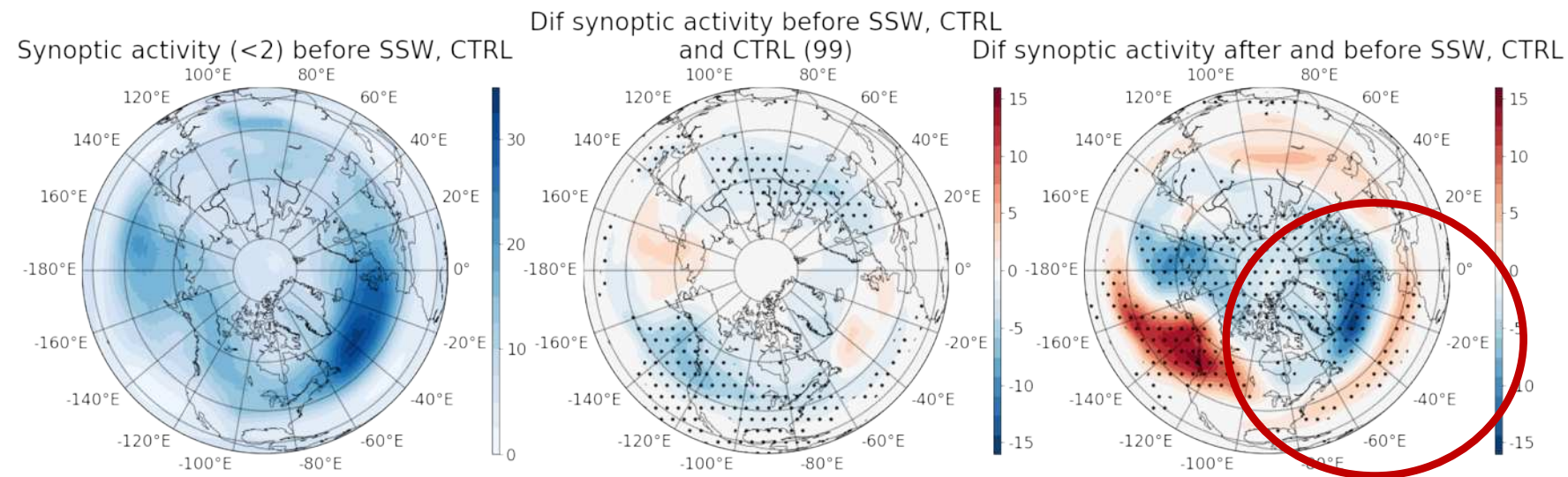
Синоптическая активность (2 недели до ВСП)



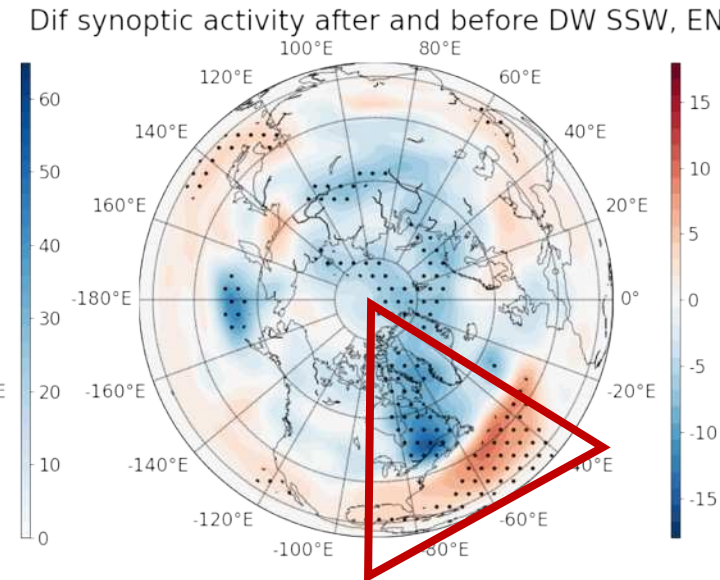
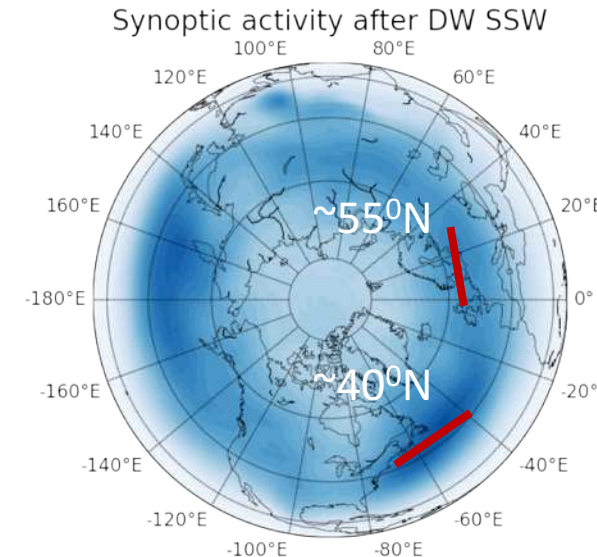
- В ЭН эксперименте синоптическая активность выше на юге чем на севере относительно контрольного эксперимента
- В ЛН эксперименте наблюдается снижение синоптической активности в Атлантическом регионе, и меридиональное смещение шторм-трека не выражено.



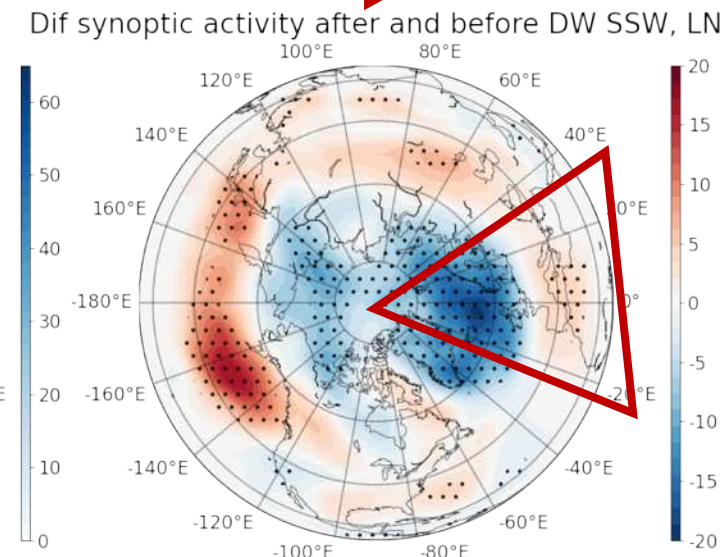
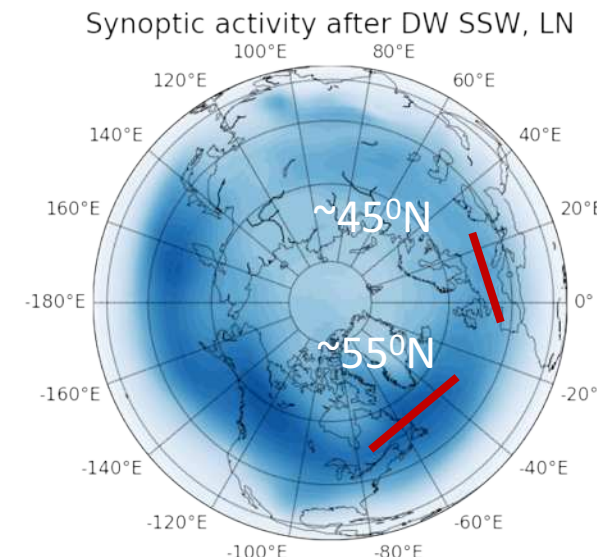
Смещение Атлантического шторм-трека на юг после ВСП в контрольном эксперименте



Смещение Атлантического шторм-трека на юг после ВСП в ЭН и ЛН экспериментах



Отклик в **западной части**
Атлантического океана



Отклик в **восточной части**
Атлантического океана

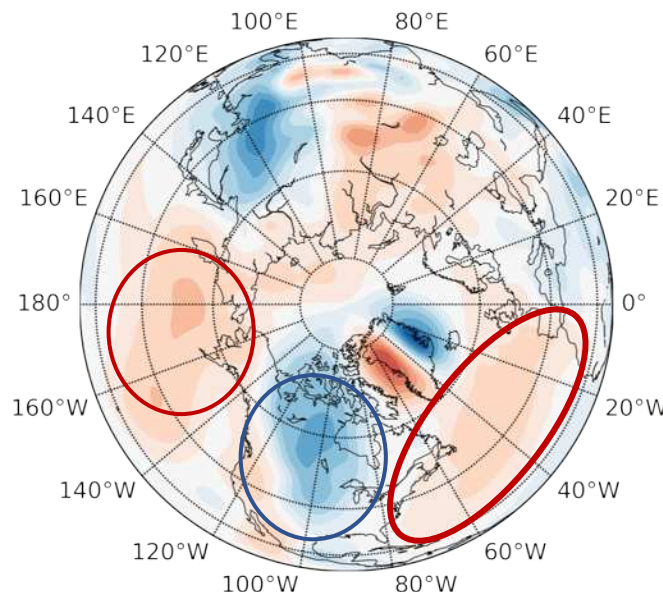
[Зюляева и др., 2023]



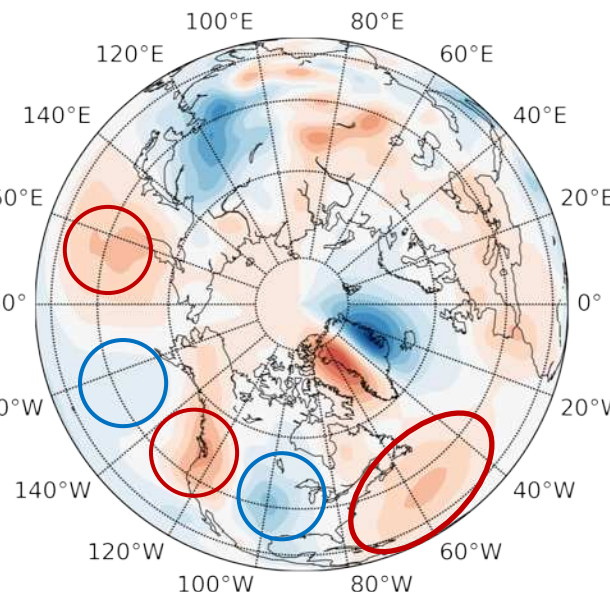
Пространственная структура планетарных волн

Меридиональная компонента скорости ветра на 850 гПа, среднее за 100 лет

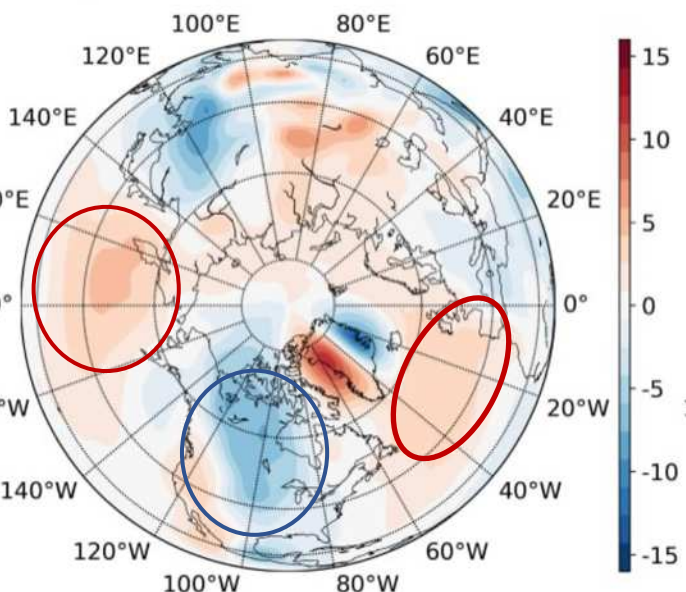
DJF vcomp, Control, 850hPa



DJF vcomp, El Nino, 850hPa



DJF vcomp, La Nina, 850hPa



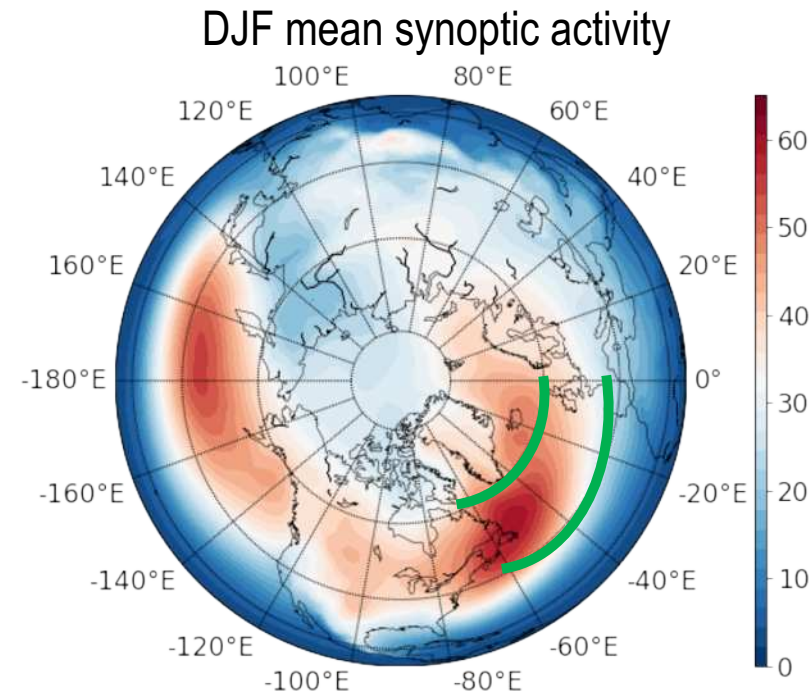
Западная часть

Восточная часть

- Регион, где наблюдается сдвиг шторм-трека на юг, соответствует региону положительных значений меридиональной компоненты скорости ветра.



Прогностический потенциал (декабрь–февраль)



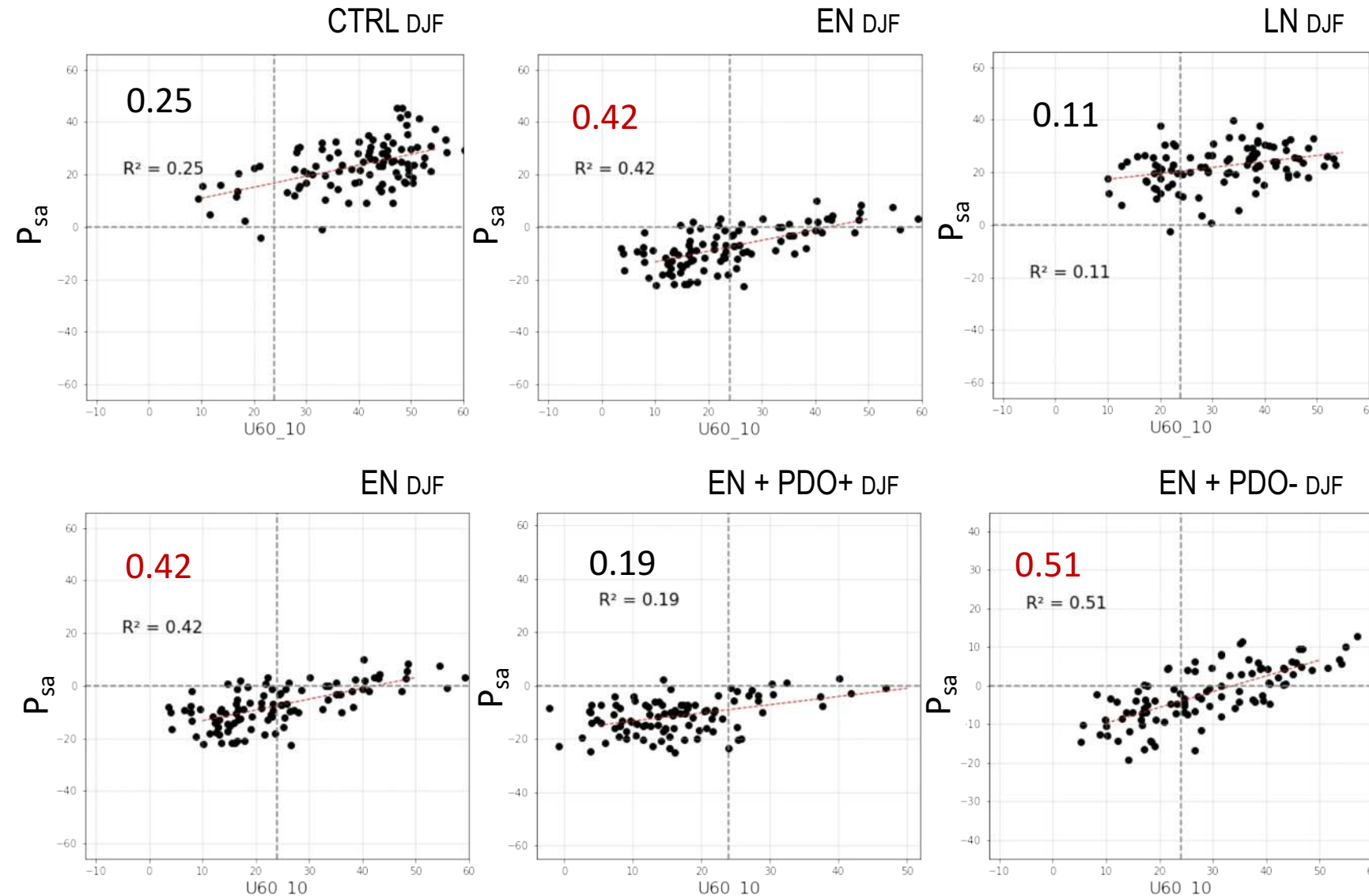
$$P_{sa} = \text{synac}(60) - \text{synac}(40)$$

$P_{sa} < 0$, син. активность выше на юге

$P_{sa} > 0$, син. активность выше на севере

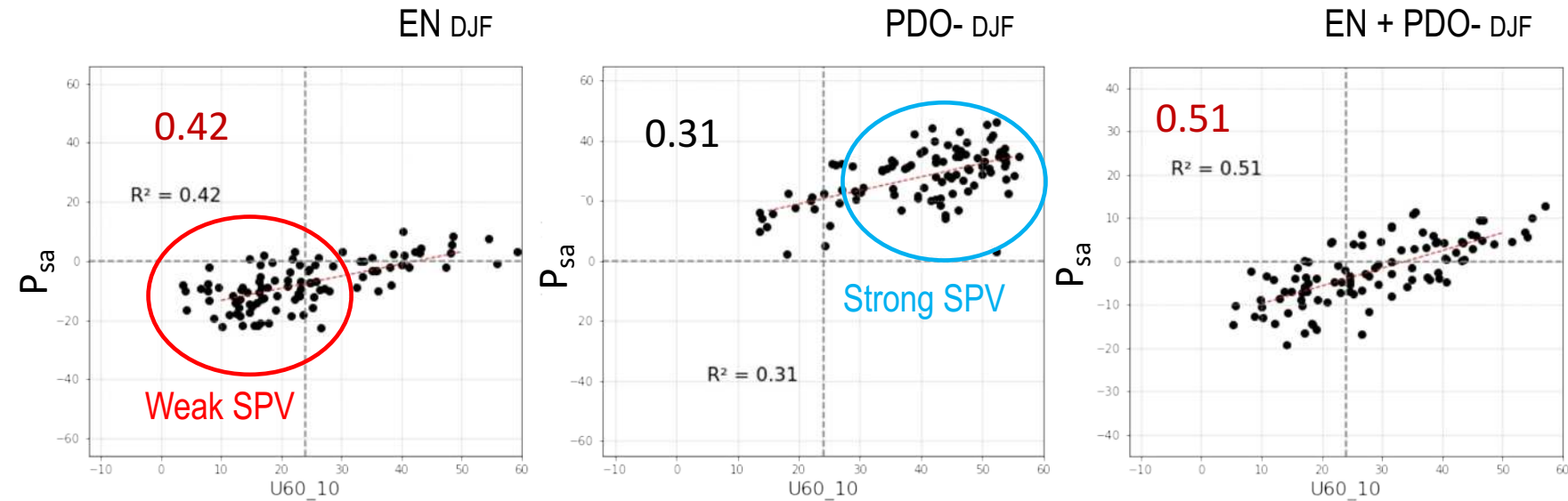


Прогностический потенциал (декабрь–февраль)

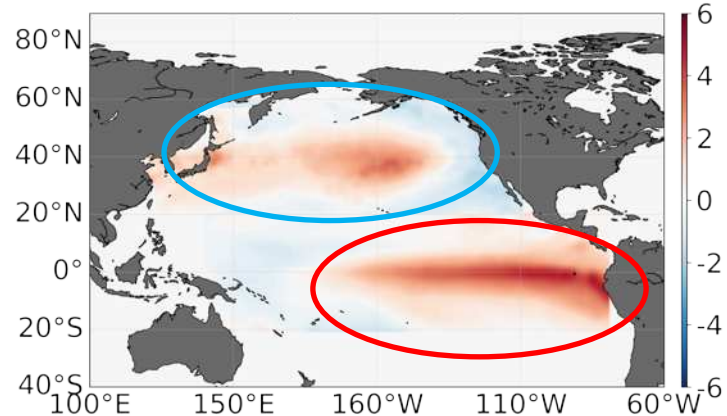




Прогностический потенциал (декабрь–февраль)



SST anomalies: EN + PDO-



Пространственная структура
планетарных волн

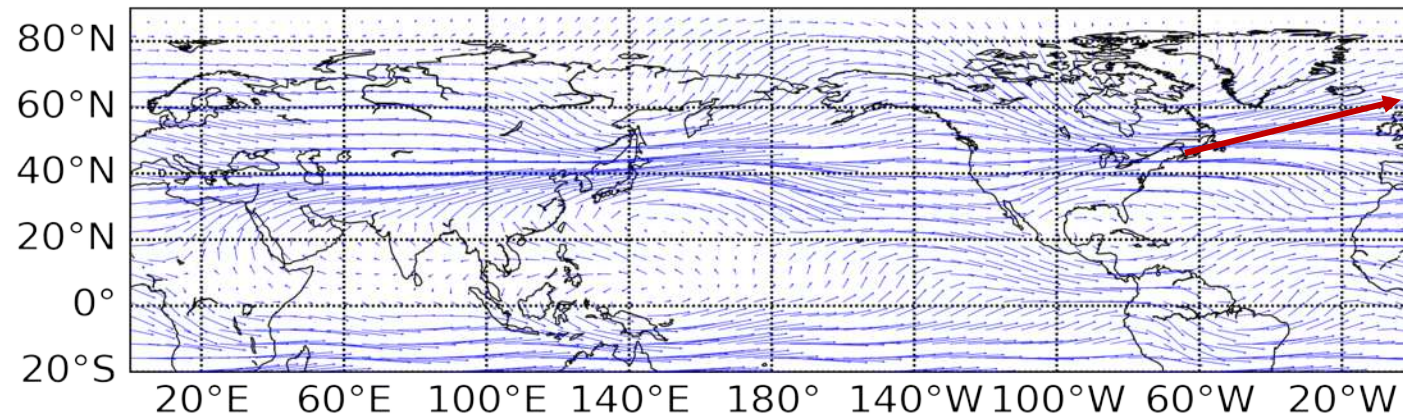
Изменчивость
интенсивности
СПВ

Среднее положение шторм-
трека в Атлантическом
регионе до ВСП

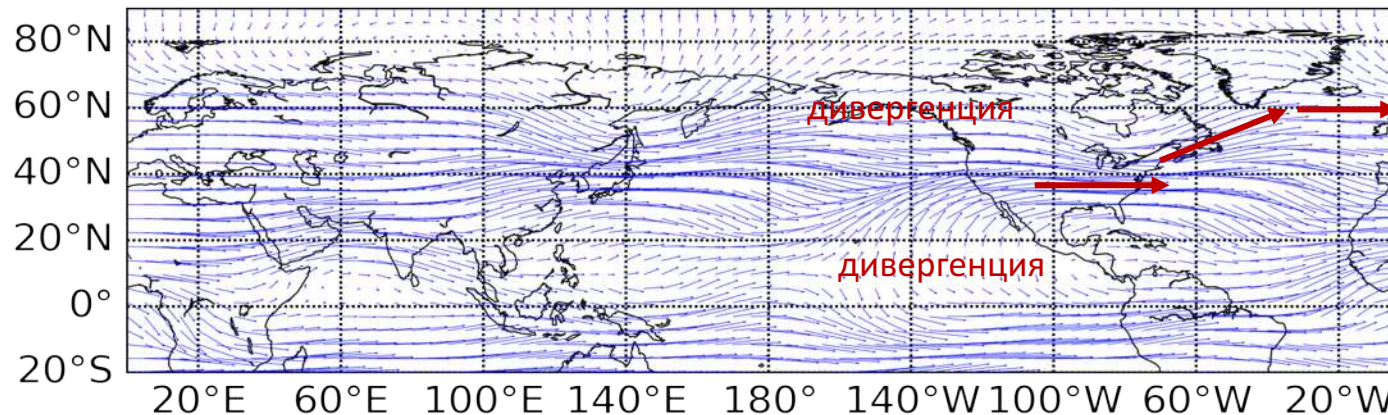


Прогностический потенциал (декабрь–февраль)

CTRL DJF



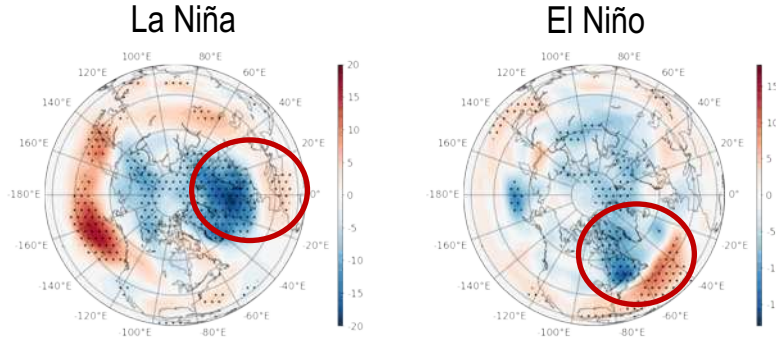
EN DJF





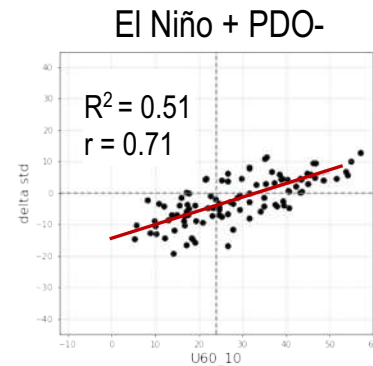
Основные выводы

1.

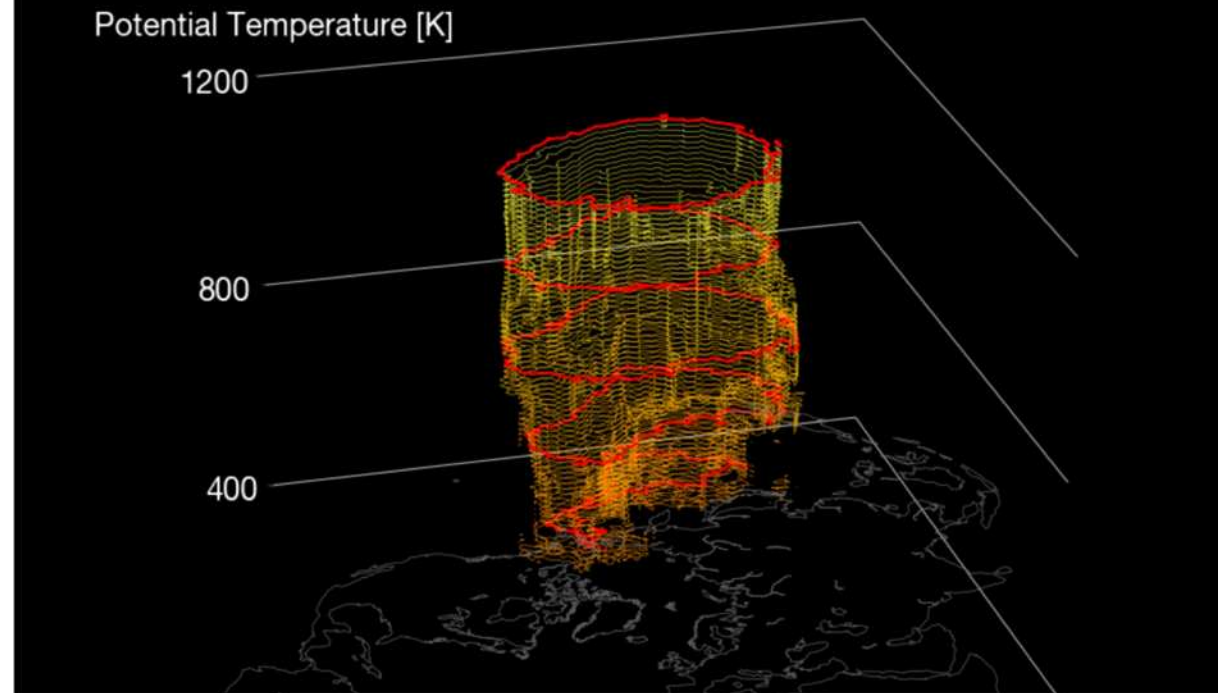


На **субсезонном масштабе**, в годы с ЭН отклик штурм-трека в Атлантическом океане наблюдается в западной части региона, а в годы ЛН – в восточной.

2. На **сезонном масштабе** стратосферная динамика имеет максимальный прогностический потенциал в годы с событиями ЭН, которые происходят на фоне отрицательной фазы ТДК. В зимней сезон (декабрь–февраль) до 50% изменчивости положения штурм-трека в Северо-Атлантическом регионе связано с интенсивностью СПВ.



GFS Stratospheric Polar Vortex Structure
Valid: 24 Oct 2024-00Z (23 Oct 2024-00Z, FH024)



Спасибо за внимание!

Figure by Z. D. Lawrence (NMT)
stratobserve.com

Data source: GFS, http://nomads.ncep.noaa.gov:9090/dods/gfs_0p50/

